



وزارة التعليم العالي والبحث العلمي

جامعة القادسية / كلية التربية

قسم الفيزياء

## دراسة نظرية للخصائص البلورية لبلورة كلوريد السيزيوم باستخدام الأشعة السينية

بحث مقدم إلى قسم الفيزياء - كلية التربية - جامعة القادسية  
كجزء من متطلبات نيل درجة البكالوريوس في علوم الفيزياء

من قبل الطالبة

حسين حمزة سعد

حوراء ناظم

حسن عباس عبد الله

بإشراف الأستاذ

م. قاسم ستار الشوك

# الآية

بِسْمِ اللَّهِ الرَّحْمَنِ الرَّحِيمِ

{اولم يروا كيف يدى الله المخلق ثم يعيده ان ذلك الله على

{سير}

العنكبوت ١٩

# الإهداء

إلى سر الاسرار ورحمة الجبار وابنة المختار وزوجة الكرار ..

سيدتي ومولاتي وشفيعتي فاطمة الزهراء (روحي

وأرواح العالمين لها الفداء )

إلى نور الله في ارضه ووارث انبيائه وأوصيائه ورسله .. العدل

المنتظر

سيدي ومولاي بقيّة الله الامام المهدي (روحي

لتراب مقدمه الفداء)

أهدي ثمرة هذا الجهد المتواضع .. راجيا القبول الحسن

وشفاعة الدارين

الباحث

# الشكر والعرفان

بدايتاً ..

نحمد الله ونشكره لما له من المنة والفضل .....

وبعد الحمد نتقدم بالشكر الجزيل الى الاستاذ الفاضل الدكتور قاسم ستار الشوك التدريسي في

جامعة القادسية /كلية التربية / قسم الفيزياء المشرف على بحثنا هذا .

والشكر موصول الى جميع اساتذتنا الاجلاء .

## Abstract

## الخلاصة :-

الأشعة السينية عبارة عن أشعة كهرومغناطيسية ؛ كالضوء والموجات الراديوية ولكن هذه الموجات تختلف عن بعضها البعض بالطول الموجي وهو الذي يحدد قدرتها على اختراق وتأيين الذرات .

تم في هذا البحث دراسة الخصائص البلورية لبلورة كلوريد السيزيوم باستخدام حيود الأشعة السينية بالاعتماد على قانون براك حيث وجدنا ان قيمة ثابت الشبكة  $a$  تزداد مع زيادة قيم  $N$  المرتبطة مع قيم معاملات ميلر  $hkl$  . كذلك تم حساب المسافة العمودية بين المستويات البلورية  $d$  حيث وجدنا ان قيم  $d$  قيمها ثابتة تقريبا والتي تكون في حدود  $0.914^\circ$ .

## الفهرس

رقم الصفحة	العنوان	التسلسل
	<b>الفصل الاول</b>	
6	اكتشاف الاشعة السينية	1-1
7	الكشف الاشعة السينية وقياسها	1-2
8	خواص الاشعة السينية	1-3
9	طيف الاشعة السينية	1-4
12	تفاعل الاشعة السينية مع المادة	1-5
18	بلورة كلوريد السيزيوم	1-6
	<b>الفصل الثاني</b>	
21	التركيب البلوري	2-1
21	حيود الاشعة السينية	2-2
22	قانون براغ	2-3
23	تعين الهيكل البلوري (ثابت الشبكة) لبلورة كلوريد السيزيوم	2-4
25	حساب الطاقة العمودية بين المستويات البلورية لبلورة كلوريد السيزيوم	2-5
	<b>المصادر</b>	

# الفصل الأول

## الفصل الاول Chapter One

### المقدمة Introduction

#### 1-1: اكتشاف الأشعة السينية Discovery of X-Ray

اكتشفت الأشعة السينية في سنة 1895 على يد العالم الألماني رونتجن (Roentgen) ، عندما كان يدرس التفريغ الكهربائي خلال الغازات في الضغوط المنخفضة لاحظ بأنَّ إشعاعات قوية ذات طبيعة مجهولة تتكون عند اصطدام الالكترونات السريعة مع جسم مادي ، أطلق رونتجن على هذه الأشعة اسم الأشعة السينية (X-Ray) لأنه لم يعرف طبيعتها . ، فقد تبين لرونجن (Roentgen) أنه كلما زادت سرعة الالكترونات، زادت نفوذية الأشعة السينية المتكونة. في حين بزيادة عدد الالكترونات تزداد شدة حزمة الأشعة بعد مدة قصيرة من هذا الاكتشاف، تبلور أن الأشعة السينية هي موجات كهرومغناطيسية. في عام (1912) أكتشفت طريقة لقياس الأطوال الموجية للأشعة السينية ووجد بأنها المسافة الفاصلة بين الذرات المتجاورة في البلورات حوالي ( $10^{\circ}$  أي أن الأطوال الموجية المحصورة بين ( $0.1A^{\circ}$  -  $100A^{\circ}$ )، وبذلك تقع بين الأشعة فوق البنفسجية وطيف أشعة كما التي تنبعث من النواة . والجدول (1-1) يوضح الطيف الكهرومغناطيسي.



المنطقة	الطول الموجي (بالأنجستروم)	التردد (بالهيرتز)	الطاقة (بالجول)
الراديو	أقل من $10^9$	أقل من $10^9 \times 3$	أقل من $10^{-5}$
أشعة المايكروويف	بين $10^6 - 10^9$	بين $10^{12} \times 3 - 10^9 \times 3$	بين $10^{-5} - 0.01$
الأشعة تحت الحمراء	بين $7000 - 10^6$	بين $10^{14} \times 4.3 - 10^{12} \times 3$	بين $2 - 0.01$
الأشعة المرئية	بين $4000 - 7000$	بين $10^{14} \times 7.5 - 10^{14} \times 4.3$	بين $3 - 2$
الأشعة فوق البنفسجية	بين $10 - 4000$	بين $10^{17} \times 3 - 10^{14} \times 7.5$	بين $10^3 - 3$
أشعة أكس	بين $0.01 - 10$	بين $10^{19} \times 3 - 10^{17} \times 3$	بين $10^5 - 10^3$
أشعة جاما	أقل من $0.01$	أقل من $10^{19} \times 3$	أقل من $10^5$

جدول ( ١-١ ) يوضح الطيف الكهرومغناطيسي .

## 2-1: الكشف عن الأشعة السينية وقياسها

### X-Ray detection and measurement

إنَّ مبدأ الكشف عن الأشعة وقياس شدتها يعتمد على الآثار التي تحدثه في المادة المارة فيها من تأيين للذرات أو إثارتها، توليد الضوء، التأثيرات الكيميائية، التغيرات التي يمكن أن تحصل في المواد الصلبة وتوليد الحرارة. لذلك فقد تعددت الكواشف (Detectors) المستخدمة في الكشف عن الأشعة وقياس الجرعة الإشعاعية وتتنوع تبعاً للطرق التي تستخدمها والوظيفة التي تؤديها وينقسم الى قسمين:-

أ- الكواشف التي تستخدم لقياس معدل الجرعة الإشعاعية (Dose rate meters) مثل غرفة التأين (Ionization chamber)، العداد التناسبي (Proportional chamber)، الكواشف الوميضية وعداد جايجر - مللر (Geiger - Muller chamber).

ب- الكواشف التي تستخدم لقياس الجرعة الكلية الناتجة عن التعرض الإشعاعي خلال مدة زمنية معينة وتسمى بمقياس الجرعة (Dose meters)، منها مقاييس الجرع الفلمية (Film dose meters)، مقاييس الجرع الجيبية (Pocket dose meters)، مقاييس الجرع الزجاجية (Glass dose meters)، المسعرات الحرارية (Calorimetric dose meters) مقاييس الجرع ذي التوهج الحراري (TLD).

### X-Ray properties

### 3- 1 : خواص الأشعة السينية:-

يمكن تلخيص ما تتميز به الأشعة السينية بالخصائص التالية:-

- ١- الأشعة السينية هي موجات كهرومغناطيسية غير منظورة.
- ٢- تتولد الأشعة السينية عند اصطدام الإلكترونات السريعة في أنبوب التفريغ بذرات الهدف إذ تكون العناصر الثقيلة مثل البلاتين عادة أكثر كفاءة من العناصر الخفيفة وتنبعث الأشعة السينية من الذرات المثيعة عند انتقال الإلكترونات من مستويات عالية إلى مستويات واطنة .
- ٣- لا تنعكس الأشعة السينية ولا تعاني انكساراً ولهذا لا يمكن جمعها أو تشتتها بأستخدام العدسات الإلكترونية (ولكن تحت ظروف خاصة يمكن أن تنعكس أو تنكسر ) لأنها لا تنحرف بالمجال الكهربائي أو المغناطيسي وإنما تسير بخطوط مستقيمة.
- ٤- تولد الأشعة السينية ظاهرتي ( الفلورة والفسفرة) والمقصود بالفلورة(التألق) (Flourescence) هو الانبعاث المباشر للضوء من جزيئة أو ذرة تبعاً لطاقة الإشعاع الممتص، فإذا سقطت حزمة الأشعة على مادة فإنّ قسماً من هذه الأشعة يمتص نسبياً في أحداث تهيجات ذرية وإذا تخلصت الذرة من حالة التهيج هذه فإنها تبعث بالضوء ، تتناسب شدة الفلورة طردياً مع شدة الأشعة السينية الساقطة.

أما الفسفرة (Phosphorescence) فهي حالة استمرار انبعاث الإشعاع المتميز من المواد لفترة من الزمن بعد انقطاع التهيج.

٥- تستطيع الأشعة السينية تفريغ الأجسام المشحونة كهربائياً سواء كانت شحنتها سالبة أو موجبة بذلك تؤين الغازات عند مرورها خلالها.

٦- تؤثر في الألواح الفوتوغرافية.

٧- تخترق الأشعة السينية المواد وينسب متفاوتة، وتمتص من قبل المواد بكميات مختلفة تسمى وحدات قياس الأشعة السينية الكرى (Gry) والكرى يساوي (100) راد والراد (Rad) هو مقدار الإشعاع الذي يسبب تراكم (0.11 Joule/Kgm) ، واستعملت في السابق وحدة تسمى رونتجن (R) والذي يساوي تقريباً الراد .

## X-Ray Spectrum

### ١ - 4 : طيف الأشعة السينية

عند انتقال الإلكترونات من مدارات عالية الطاقة الى مدارات ذات طاقة أوطأ تنبعث أشعة سينية متميزة تختلف باختلاف العناصر.

لقد أمكن قياس الأطوال الموجية في طيف الأشعة السينية من هدف في أنبوبة الأشعة السينية بواسطة محلل بلوري ووجد أنها تتكون من .

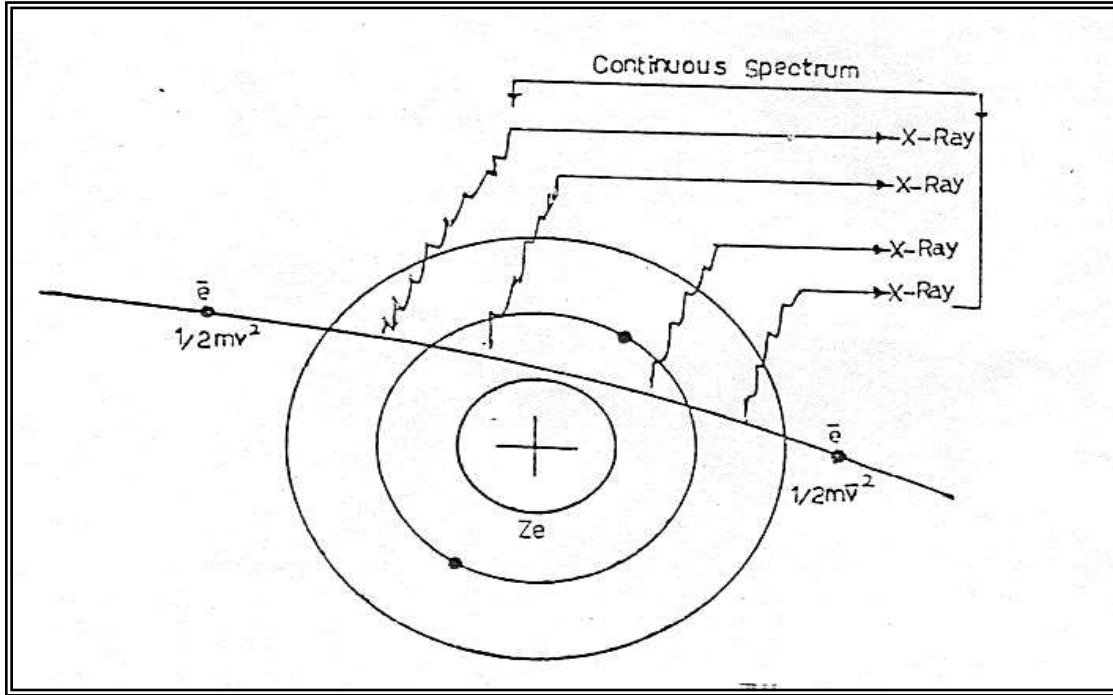
١ - 4- 1 : طيف مستمر (Continuous Spectrum).

١ - 4- 2 : طيف خطي حاد (Linear Sharp Spectrum).

### ١- 4- 1 : الطيف المستمر للأشعة السينية X-Ray Continuous Spectrum

ينتج الطيف المستمر (Continuous Spectrum) بسبب دخول إلكترون المعجل مجال النواة إحدى ذرات الهدف وتباطئه مما يؤدي ذلك الى فقدان طاقته حيث تنبعث الطاقة التي يفقدها على شكل أشعة سينية تتكون من سلسلة متصلة من

الأطوال الموجية. يطلق على هذه الأشعة تسمية أشعة التوقف أو البريمشتراهلنك (Bremsstrahlung Radiation) كما في الشكل (1-1)



الشكل (1-1): الأشعة السينية المنبعثة نتيجة التباطؤ التباطيء للإلكترون

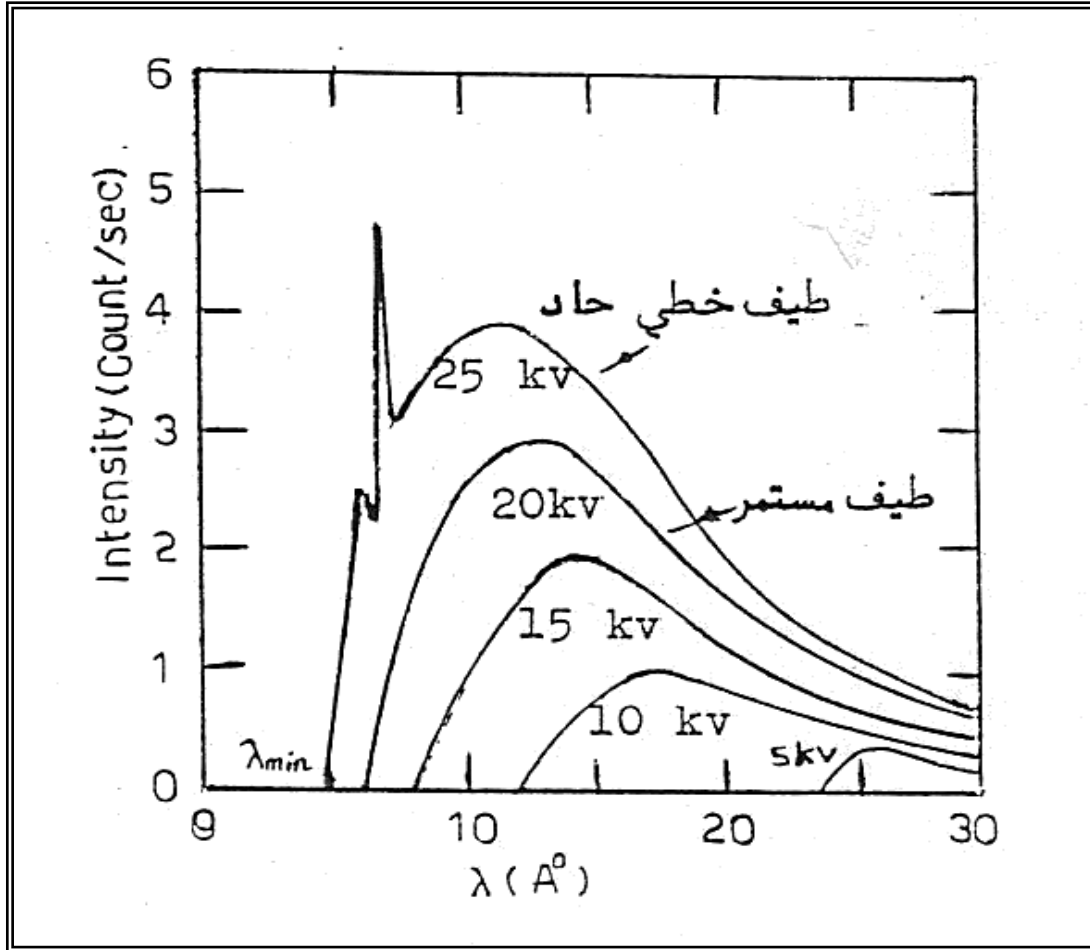
#### 4-1-2: الطيف الخطي الحاد للأشعة السينية

##### X-Ray Linear Sharp Spectrum

إذا صادف واصطدم إلكترون متسارع بذرة هدف فإنه يمنح أحد الكترونات تلك الذرة جزءاً من طاقته وبهذا يترك الإلكترون المداري ذرته مما يحدث فجوة في ذلك المدار وبالمقابل تعيد الذرة ترتيب إلكتروناتها المدارية كما ذكرنا سابقاً، وبذلك فإن الفرق بين الإلكترون المنتقل من مستوى عالٍ إلى مستوى واطئ ينبعث على شكل أشعة سينية ذات طيف خطي حاد (Linear Sharp Spectrum)

إن طول موجة الأشعة السينية يكون محدداً لأن طاقة المستويات الذرية محددة. لما كانت طاقات المستويات الذرية هي من مميزات ذرات مادة الهدف لذلك فالطيف

الخطي هو من مميزات ذرات مادة الهدف ايضاً. يوضح الشكل (١ - ٢) الطيف المستمر والطيف الخطي الحاد للأشعة السينية.



الشكل (١ - ٢): الطيف المستمر والطيف الخطي الحاد للأشعة السينية

## 5-1: تفاعل الأشعة السينية مع المادة X-Ray Interactions with matter

إنَّ الأشعة السينية هي أشعة كهرومغناطيسية، ذات طول موجي أقصر بكثير من طول موجة الأشعة فوق البنفسجية، أو الإشعاعات الضوئية المرئية. يؤدي تفاعل هذه الأشعة مع المادة إلى إنتاج الكترونات ثانوية تقوم بنقل معظم طاقة فوتونات الأشعة إلى المادة الماصة مما يسبب تأيين ذراتها. وتختلف طرق تفاعل الأشعة الكهرومغناطيسية مع مكونات المادة تماماً عن طرق تفاعل الجسيمات المشحونة، إذ إنَّ الجسيمات المشحونة. وكما لاحظنا سابقاً، تعطي طاقتها إلى مكونات المادة المعرضة بشكل تدريجي من خلال عدد كبير من حوادث التصادم.

أما بالنسبة للأشعة السينية فإنَّها عندما تسقط على سطح المادة فإنَّ عملية امتصاص فوتونات هذه الأشعة من خلال حذف هذه الفوتونات من الحزمة بصورة فردية ومن خلال حادثة واحدة يتم فيها إما امتصاص الفوتون كلياً، وإما استطارته خارج حزمة الأشعة، مما يؤدي إلى تناقص الحزمة بشكل أسّي مع ازدياد سمك المادة الماصة وتتصرف الأشعة الكهرومغناطيسية أثناء التفاعلات كما لو كانت جسيمات خفيفة ( فوتونات) وتعطي طاقة الفوتون الواحد بالعلاقة التالية.

$$E = h\nu \text{-----} (1-1)$$

E: طاقة الفوتون.

h: ثابت بلانك قيمته  $6.63 \times 10^{-34} \text{ J.Sec}$

ν: تردد الفوتون .

هناك ثلاثة أنواع من التفاعلات تعد هامة في مجال الفيزياء الإشعاعية، تخوضها فوتونات أشعة السينية عند مرورها في المواد، هذه الأنواع الثلاثة هي:-

## 1-5-1 التأثير الكهروضوئي Photoelectric Effect

يعد التأثير الكهروضوئي من أهم التفاعلات التي تخوضها الفوتونات ذات الطاقة الواطئة في المادة، يتم في هذا النوع من المتفاعل انتقال طاقة الفوتون جميعها الى إلكترون ذري مسببة انتزاع الإلكترون من غلافه الداخلي وعادة من القشرة (K)، الشكل (3-1) وأن احتمالية انتزاع الإلكترون من القشرة (K) هي (80%) وأما احتمالية انتزاعه من القشرة (L) فهي (20%) بشرط أن تكون طاقة الفوتون الساقط (E) على الذرة، أكبر من طاقة الربط للإلكترون القشرة الذي يسمى عندئذ بالإلكترون الضوئي (Photoelectron) وتقدر طاقته الحركية بطاقة الفوتون الابتدائية الساقطة مطروحاً منها الطاقة الرابطة للإلكترون في القشرة (K) أي أن :

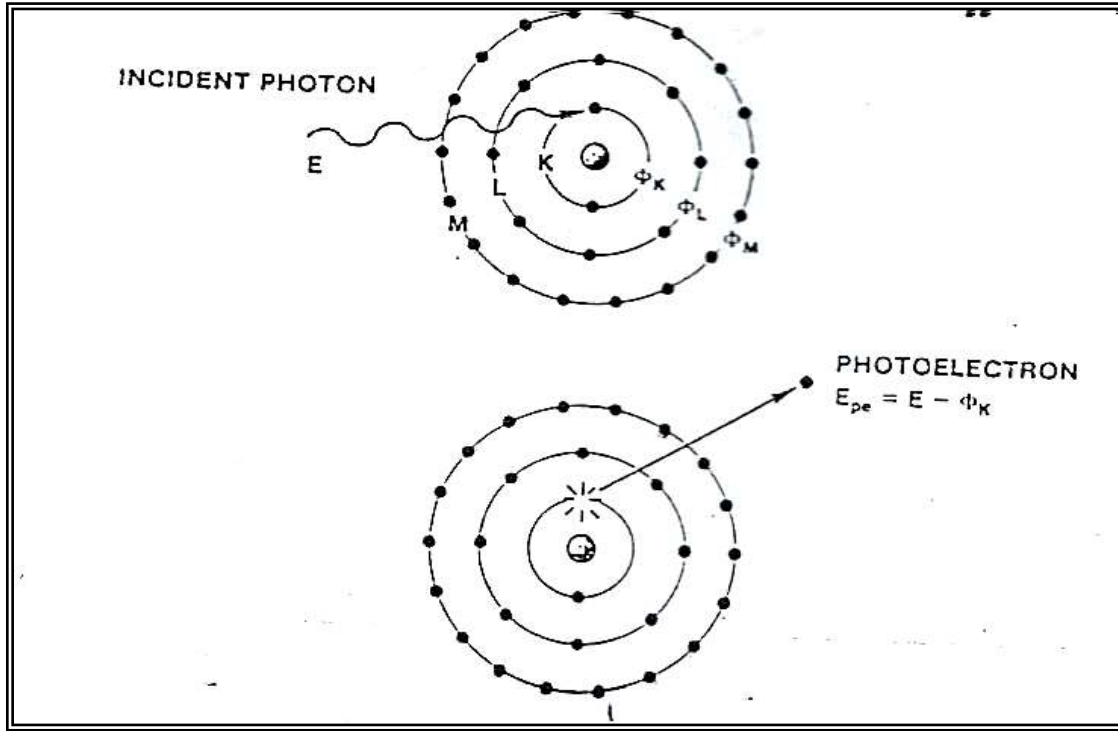
$$E_{pe} = E - \phi_k \text{ -----(2-1)}$$

إذ إن  $E_{pe}$ : الطاقة الحركية للإلكترون الضوئي.

$E$ : طاقة الفوتون الساقط على الذرة.

$\Phi_k$ : طاقة ربط الإلكترون بالقشرة (k).

إن نتيجة هذا التفاعل حدوث تأين للذرة والتي تعود الى حالة الاستقرار عن طريق إعادة ترتيب الكترونياتهما وما يصاحب ذلك من انبعاث للأشعة المميزة. إن كلاً من الإلكترون المتحرر والأشعة المميزة تسببان المزيد من التفاعلات مع ذرات المادة المجاورة قبل أن يتم امتصاص طاقتيهما كلياً، وهكذا تحصل فجوة في مكان الإلكترون الضوئي المنتزع من القشرة وهذا هو مبدأ الفلورة.



الشكل (1-3) يوضح التفاعل الكهروضوئي.

## Compton Effect

## 1-5-2 ظاهرة استطارة كومبتن

عند تصادم فوتون مع الإلكترون الحر أو غير مرتبط بأحكام في الذرة ينتقل قسم من طاقة الفوتون الى ذلك الإلكترون بينما ينطلق الفوتون نتيجة هذا التصادم باتجاه جديد ( يستطار ) ولكن بطاقة أقل وطول موجي أكبر ولذا فإن نتيجة هذا التفاعل هو تحرر إلكترون بطاقة حركية للقيام بالمزيد من التفاعلات داخل المادة.

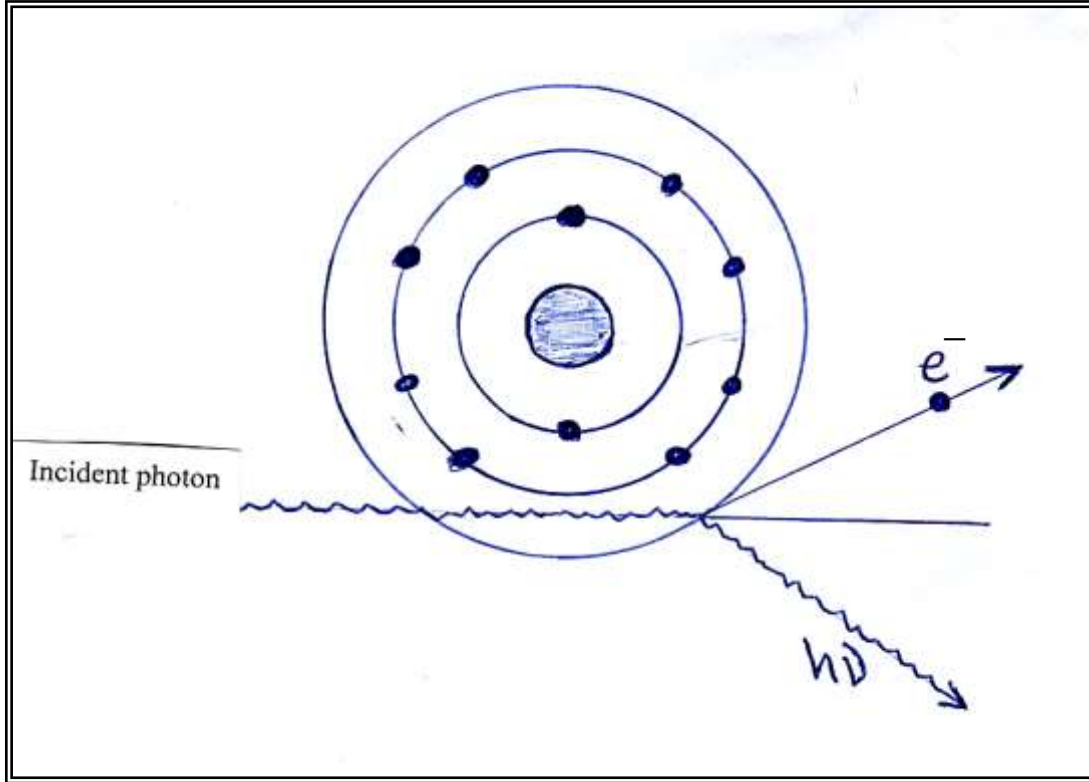
ويكرر الفوتون المستطار التفاعل السابق داخل المادة بالإضافة الى الأشعة السينية المميزة المنبعثة بسبب الفراغ الذي خلقه الإلكترون، وما يتبعه من إعادة ترتيب الإلكترونات.



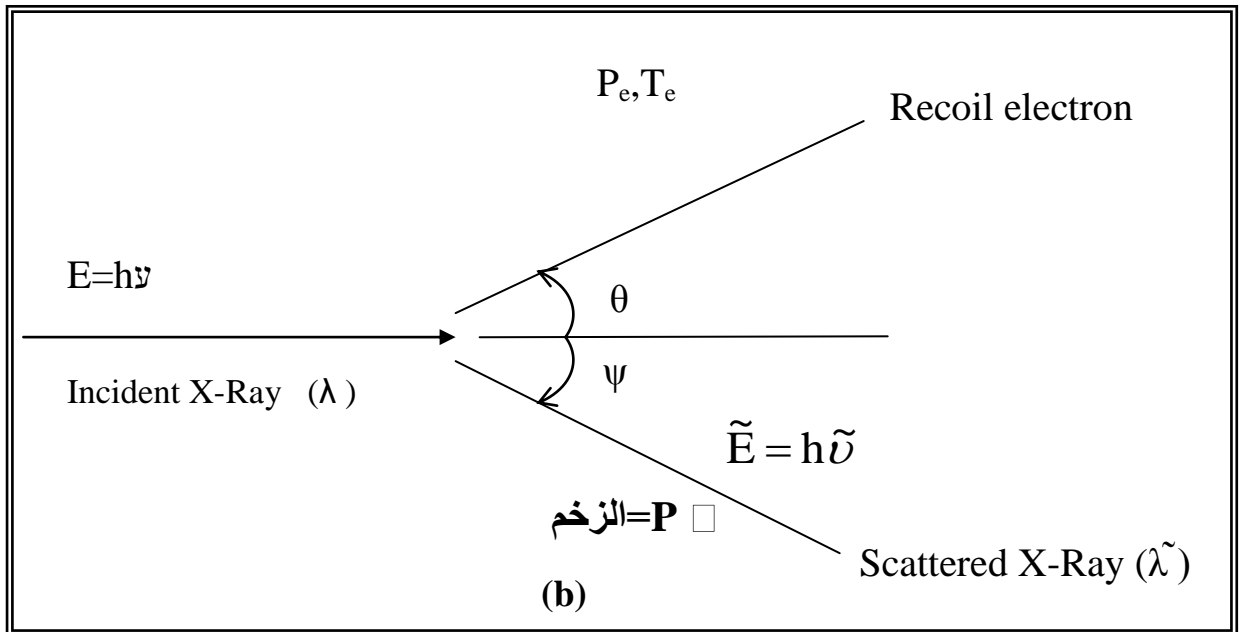
و من الجدير بالذكر ان معظم الطاقة في هذا التفاعل تذهب الى الإلكترون فتمتص عند الطاقات العالية بينما تستطار معظم هذه الطاقة عند الطاقات الواطئة مما تطلب المزيد من التفاعلات لامتناسها إذا كانت  $(\lambda)$  طول الموجة، الإشعاع السيني الساقط  $(\tilde{\lambda})$  طول الموجة الإشعاع السيني المستطار خلال الزاوية  $(\psi)$  ، فالتغيير في طول موجة الأشعة السينية يعطي بالمعادلة التالية :-

$$\tilde{\lambda} - \lambda = \frac{h}{m_0 c} (1 - \cos \psi) \text{-----} (3-1)$$

إذ إن  $h$  ثابت بلانك ويساوي  $(6.63 \times 10^{-34} \text{ J.S})$  و  $m_0$  هي الكتلة السكونية للإلكترونية و  $C$  انطلاق الضوء يسمى المقدار  $(\frac{h}{m_0 c})$  في المعادلة أعلاه بطول الموجة كومبتن إذ إن  $(\frac{h}{m_0 c} = 0.04 \text{ \AA})$  لذلك لا يعتمد هذا التفاعل على العدد الذري للعنصر والشكل (1-4) يوضح استطار كومبتن لفوتون الأشعة السينية.



(a)



(b)

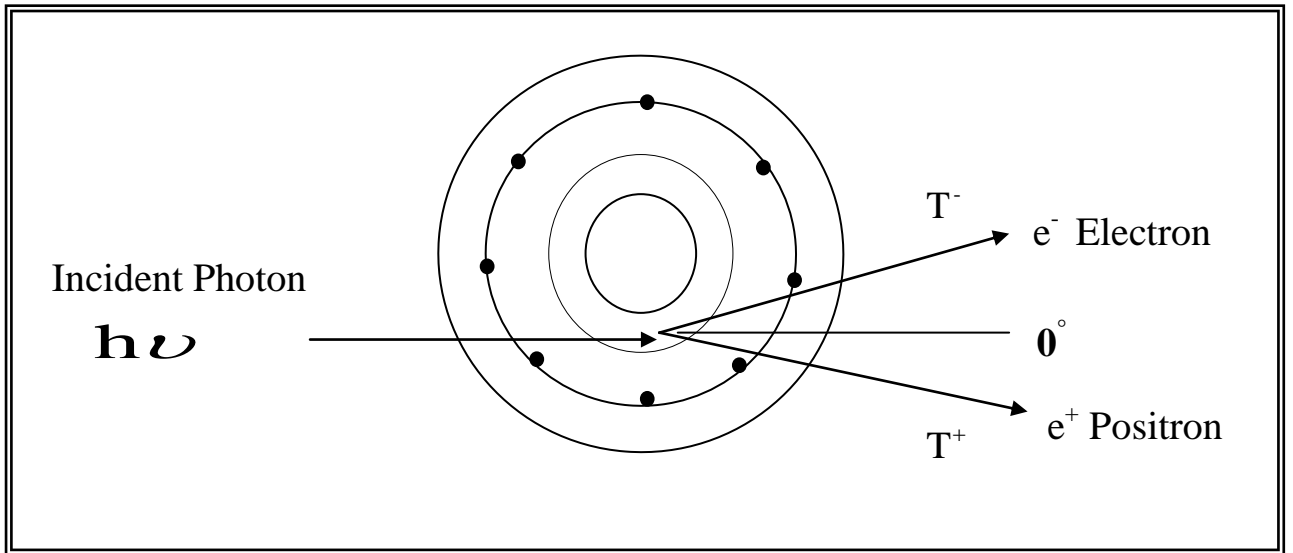
الشكل (1-4) : (a) - مكان تفاعل إستطارة كومبتن  
 (b) - آلية تفاعل إستطارة كومبتن.

### Pair Production effect

### 1-5-3: ظاهرة تولد الزوج

يوضح الشكل (١-٥) حركية حدوث تفاعل إنتاج الزوج في المجال النووي للذرة. في هذا التفاعل يقوم الفوتون بإعطاء كل طاقته  $h\nu$  لإنتاج زوج إلكترون- بوزوترون وتكون الطاقة الحركية للجسيمات الجديدة  $T^-$  و  $T^+$  على الترتيب ولذا فإن معادلة حفظ الطاقة إذا ما أهملنا ارتداد النواة اليسير يمكن أن تكتب بالشكل الآتي:-

$$h\nu = 2m_0c^2 + T^- + T^+ \\ = 1.022\text{Mev} + T^- + T^+ \text{ --- (4-1)}$$



الشكل (1-5) يوضح عملية إنتاج الزوج في جوار النواة

إذ تم استبدال طاقة السكون للإلكترون  $m_0c^2$  بقيمتها وهي  $0.511\text{MeV}$ . إن الطاقة الحركية التي يستلمها الإلكترون والبوزترون ليس بالضرورة أن تكون متساوية فيما بينها، ولكن معدل طاقة الجسيم الواحد يمكن حسابها من المعادلة الآتية.

$$T = \frac{h\nu - 1.022\text{Mev}}{2} \text{ --- (5-1)}$$

وتعد عملية إنتاج الزوج إحدى الصور تحول الطاقة الى مادة. ولكون طاقة العتبة (الحرجة) أقل طاقة لازمة لإنتاج الزوج فإنها تعد العملية الأكثر إمكانية لتفاعل الفوتون مع المادة في طاقات الفوتون العالية .

وبتطبيق قانوني حفظ الزخم وحفظ الطاقة على التفاعل فإن الزوج لا يمكن أن يتولد إلا بجوار جسم ثالث يمكنه اكتساب بعض الزخم وإذا كان هذا الجسم الثالث هو النواة فإنها ستكسب مقداراً قليلاً من طاقة الفوتون الأصلي الممتص في مجالها وترتد مع بعض الزخم ولذا فإن طاقة الارتداد للنواة تهمل مقارنة بطاقة جسمي الزوج بسبب كبر كتلتها. إذا أن  $(h\nu > 2m_0c^2)$  طاقة الفوتون الساقط .

$(Te^-, Te^+)$  ، الطاقة الحركية لكل من والبوزترون والإلكترون على التوالي .

$(2m_0c^2)$  طاقتا سكون زوج (إلكترون – بوزترون) .

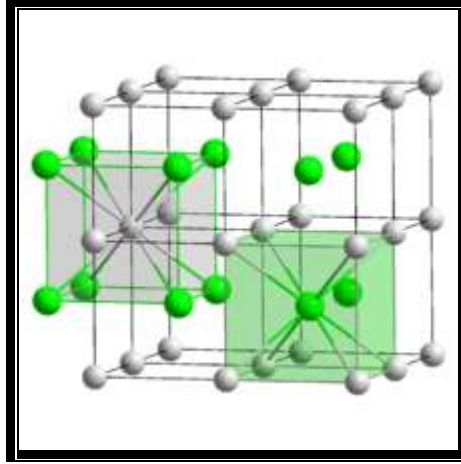
وعندما يكون طاقة الفوتون الساقط أكبر من  $(2m_0c^2)$  فإن الزوج سوف يمتلك طاقة حركية ويتم معادلتها على أنها طاقة حركية نسبية. ونتيجة لكون طاقة الفوتون الساقط  $(E > 2m_0c^2)$  فإن زوج (الإلكترون – بوزترون) سوف تنطلق بقوة في اتجاهات تصنع زاوية  $(\theta)$  مع الاتجاه الأصلي لحركة الفوتون إذا أن  $(\theta)$  عندما  $(\frac{h\nu}{m_0c^2} \gg 1)$  تكون بالشكل التالي

$$\theta = \frac{m_0c}{E} = \frac{m_0c^2}{h\nu} \text{-----} (6-1)$$

### **1-6: بلورة كلوريد السيزيوم:**

مركب كيميائي له الصيغة CsCl ، ويكون على شكل بلورات بيضاء .

البنية البلورية لمركب كلوريد السيزيوم بنية مكعبة مميزة كما موضح بالشكل (٦-١) بحيث يحيط بكل أيون سيزيوم في الشبكة البلورية ثمان أيونات من الكلوريد، كما يحيط بكل أيون كلوريد ثمان أيونات من السيزيوم.



الشكل (1-6) البنية البلورية لبلورة كلوريد السيزيوم.

هنالك بعض الخصائص التي تمتلكها هذه البلورة موضحة في الجدول (٢-١) ادناه :

CsCl	صيغة جزيئية
168.36 غ/مول	الكتلة المولية
بلورات بيضاء	المظهر
3.99 غ/سم <sup>3</sup>	الكثافة
645 °س	نقطة الانصهار
1295 °س	نقطة الغليان

جدول (1-2) يوضح بعض الخصائص الفيزيائية لبلورة كلوريد السيزيوم.

---

# الفصل الثاني

## الفصل الثاني

### علم البلورات

#### 2-1 : التركيب البلوري:

يختص علم البلورات بدراسة البلورات من حيث شكلها الظاهري أو الخارجي وتركيبها الداخلي والتعرف عليها يمكن التعرف على التركيب البلوري لمادة ما بدراسة التركيب الذري في الشبكة البلورية او حتى تصويره باستخدام اشعة ذات طول موجي يقع في حدود المسافة البينية للذرات والتي تصل لبضعة انجسترومات . وانسب الموجات لهذا الاستخدام هي موجات الاشعة السينية وحصول على تفاصيل جيدة للشبكة البلورية

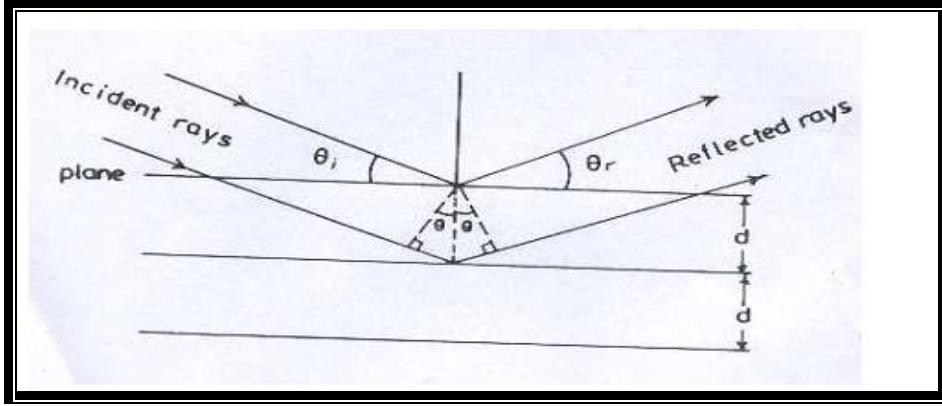
#### 2-2: حيود الأشعة السينية (X-Ray Diffraction)

إن أسلوب قياس حيود الأشعة السينية (X-ray) هو أحد الأساليب الأكثر استعمالاً لدراسة الحالة البلورية للجامد إذ أن حيود هذه الأشعة عند مرورها عبر البلورة يقدم لنا مقياساً ممتازاً عن مدى اقتراب المادة من الحالة البلورية المثالية أو اقترابها من الحالة الزجاجية (الغير البلورية) .

## (Bragg's Law)

## 3-2 : قانون براك

نص القانون أن موجات الأشعة السينية التي تسقط على سطح بلورة ما تنعكس من المستويات الذرية المتوازية انعكاساً منتظماً ويحدث الحيود من المستويات المتوازية فقط عندما تتداخل الحزم المنعكسة تداخلاً بناءً أنظر الشكل (٢ - ١).



الشكل (٢ - ١) يوضح قانون براك.

وإذا كانت المسافة الموضحة بين المستويات المتوازية هي  $(d)$  فإن فرق المسار بين حزم الأشعة المنعكسة من السطح الأعلى والسطح المجاور هو  $2d \sin \theta$  حيث أن  $\theta$  هي زاوية السقوط المحصورة بين الحزمة الساقطة والسطح العاكس ويحدث التداخل البناء للحزم المنعكسة عندما يكون فرق المسار مساوياً لعدد صحيح من أطوال الموجة الساقطة لذلك يتحقق شروط الحيود إذا كان:

$$2\lambda = 2d_{hkl} \sin \theta$$

١-٢ ....

حيث  $\theta$  زاوية سقوط الأشعة،  $\lambda$  الطول الموجي للأشعة،  $n$  عدد صحيح يسمى برتبة الانعكاس  $d_{hkl}$  المسافة البينية لمجموعة المستويات  $(hkl)$ .



#### 2-4 : تعيين الهيكل البلوري (ثابت الشبكة) لبلورة كلوريد السيزيوم .

نستخدم العلاقة التالية وذلك لحساب زاوية الحيود ( $\theta_{rad}$ ) لكل دائرة بالتقدير الدائري

$$\theta_{rad} = \frac{x}{2r} \quad \dots(2-2)$$

حيث أن  $r$  هي نصف قطر ويساوي (5 سم) . أما  $x$  فهو القطر وعليه قيمة زاوية

الحيود ( $\theta_{rad} = 1$ ) ثم بعد ذلك نجد الزاوية ( $\theta^0$ ) بالدرجات بالعلاقة التالية :

$$\theta^0 = \frac{180 \times \theta_{rad}}{\pi} \quad \dots(3-2)$$

حيث وجد ان قيمة  $\theta^0 = 57.3$

يمكن حساب ثابت الشبكة  $a$  من العلاقة التالية:-

$$a = \frac{\lambda \sqrt{N}}{2 \sin \theta^0} \quad \dots(4-2)$$

حيث أن ( $\lambda = 1.542 \text{ \AA}$ ) طول موجة الأشعة السينية و  $\sin(57.3) = 0.84$

و  $N = h^2 + k^2 + \ell^2$  وبالاعتماد على الجدول ١-٢ الموضح ادناه تم حساب ثابت الشبكة

لبلورة كلوريد السيزيوم. حيث وجدنا ان قيمة ثابت الشبكة  $a$  تزداد مع زيادة قيمة  $N$

$h, k, \ell$	$N=(h^2+k^2+l^2)$	$a$ (Å)
100	1	0.91
110	2	1.3
111	3	1.6
200	4	1.8
210	5	2
211	6	2.2
220	8	2.6
221	9	2.7
310	10	2.9
311	11	3
222	12	3.1
320	13	3.3
321	14	3.4

## 2-5 : حساب المسافة العمودية بين المستويات البلورية لبورة كلوريد السيزيوم .

يمكن حساب المسافة العمودية بين المستويات البلورية بالاعتماد على العلاقة التالية:

$$\frac{1}{d^2} = \frac{h^2 + k^2 + l^2}{a^2} = \frac{N}{a^2} \quad \text{.....(5-2)}$$

وبالاعتماد على الجدول ٢-١ وخصوصاً قيم  $N$  ,  $a$  يمكن حساب المسافة  $d$  حسب المعادلة التالية :-

$$d = \frac{a}{\sqrt{N}} \quad \text{.....(6-2)}$$

حيث تم تثبيت قيم المسافة  $d$  في الجدول 2-2 والتي كانت في حدود  $0.91 \text{ \AA}$  . حيث وجدنا ان قيم المسافة لا تعتمد كثيراً على معاملات ميلر على الرغم من زيادة قيم معاملات ميلر وفقاً للعلاقة التالية:-

$$N = (h^2 + k^2 + l^2) \quad \text{.....( 7-2)}$$

$a$ (Å)	$N=(h^2 + k^2 + l^2)$	$\sqrt{N}$	$d = \frac{a}{\sqrt{N}}$ (Å)
0.91	١	1	0.91
1.3	٢	1.4	0.92
1.6	٣	1.7	0.94
1.8	٤	2	0.9
2	٥	2.2	0.90
2.2	٦	2.4	0.91
2.6	8	2.8	0.92
2.7	٩	3	0.9
2.9	١٠	3.1	0.93
3	١١	3.3	0.90
3.1	١٢	3.4	0.91
3.3	١٣	3.6	0.91
3.4	١٤	3.7	0.91

الجدول 2-2 وضح قيم المسافة العمودية  $d$

- ١- صبحي سعيد الراوي ،شاکر جابر شاکر ،یوسف مولود حسن- فیزياء الحالة الصلبة – دار الكتب للطباعة والنشر جامعة الموصل 1988
- ٢- یحیی نوري الجمال – فیزياء الحالة الصلبة ، دار الكتب للطباعة والنشر جامعة الموصل ، لسنة ٢٠٠٠.
- ٣- مؤيد جبرائيل فیزياء الحالة الصلبة الجزء الأول ، جامعة بغداد ١٩٨٧ .
- 4- خليل ، منيب عادل ، الفیزياء النووية ، جامعة الموصل ( ١٩٩٤ ) .
- 5- مؤيد جبرائيل ، فیزياء الحالة الصلبة ، الجزء الثاني ، مديرية دار الكتب للطباعة والنشر ، جامعة الموصل - العراق ( ١٩٨٩ ) .
- 6- مايرهوف ، مبادئ الفیزياء النووية ، ترجمة د. عاصم عبد الكريم عزوز ، دار الكتب للطباعة والنشر ، جامعة الموصل ( ١٩٨٢ ) .
- 7- هنري سيمات .ترجمة عبدالجبار عبدالله وصلاح عزت تحسين. " المقدمة في الفیزياء النووية والذرية". العراق بغداد (1963) .